

海底地殻変動観測（2015年）

Seafloor Geodetic Observation in 2015

Summary: We have been carrying out seafloor geodetic observation for monitoring crustal deformation around offshore plate boundary regions, using the GPS-acoustic combination technique. This paper reports the summary and the observation results in 2015.

Key words: seafloor geodetic observation – crustal deformation

1. はじめに

海上保安庁海洋情報部では、GPS 測位と音響測距を組み合わせた方式による海底地殻変動観測の技術開発及び海底基準点の展開を行っている。本稿では、2015年までの観測結果について報告する。

2. 観測の概要及び解析手法

当部の実施している海底地殻変動観測の概念図を第1図に示す。観測には測量船を使用し、GPS 測位と音響測距を組み合わせることにより、海底に設置したミラータイプ音響トランスポンダ（海底局）の位置を精密に決定する。各海域には、水深と同程度の広さの海底に4台の海底局を設置しており、これらの海底局の重心位置（平均位置）を海底基準点と定義して、その位置を繰り返し測定している。

2008年末に、測量船のマストにGPSアンテナを、船底に音響トランスデューサをそれぞれ取り付け、航走しながらの観測（航走観測）を可能とした（川井・他、2009）。これにより、従来の漂流しながらの観測（漂流観測）と比較して、より高精度な観測が実現された（Sato et al., 2013）。

データ解析は、測量船の位置を決定するGPSキネマティック解析、測量船上のトランスデューサと海底局間の音波走時を求める音響解析、そして、これら2つの結果を結合して海底局の位置を求める局位置解析から成る。GPSキネマティック解析にはソフトウェア「IT」（Colombo, 1998）を、音響解析にはソフトウェア「sas」（富山、2003）を、局位置解析にはソフトウェア「SGOBS」（藤田・他、2004）を、それぞれ使用した。GPS解析時の陸上基準点には、国土地理院の電子基準点を使用した。また、局位置解析時には、精度向上のために、複数海底局の相対的な位置関係を不変として継時的な重心位置の変化を求める、一括解析による重心推定法（松本・他、2008）を用いた。

第2図に、2015年12月時点の海底基準点の位置を示す。なお、2013年より、東北大学災害科学国際研究所との共同研究の枠組みの下、東北大学が設置した海底基準点（東北大08, 10, 12, 14, 17）における観測を実施している。

3. 観測結果

各海底基準点における 2015 年の観測実績は、第 2 表のとおりである。第 3 図に、日本海溝沿いの海底基準点における、国土地理院 GEONET の電子基準点「福江」に対する東北地方太平洋沖地震 (M9.0, 2011 年 3 月 11 日発生) (以下、東北沖地震) 以降の変位時系列を示す。第 4 図に、南海トラフ及び相模トラフ沿いの海底基準点における、「福江」に対する東北沖地震以降の変位時系列を示す。第 3 図の変位時系列は、それぞれの基準エポックからの相対変位量を東西・南北・上下成分ごとに、第 4 図の各変位時系列は東西・南北成分ごとに示している。

4. 考察

4. 1. 日本海溝沿いの海底基準点

釜石沖から銚子沖までの日本海溝沿いの海底基準点について、東北沖地震後の累積変位を第 3 表及び第 5 図に示す。東北沖地震発生時に 20 m を超える変位を観測した「宮城沖 1」及び「釜石沖 1」海底基準点 (Sato et al., 2011) では、地震後の地殻変動として、西～西北西向きの変位が検出されている。一方、「宮城沖 2」海底基準点は南向きに、「釜石沖 2」海底基準点は北西向きの地殻変動が検出されており、東北沖地震の震央周辺では複雑な地殻変動が見られる。また、震源域の南部に設置されている「福島沖」及び「銚子沖」海底基準点では東南東向きの変位が検出されており、時間とともに減衰している様子が見られる。これらの観測成果については、Watanabe et al. (2014) において議論されている。

4. 2. 南海トラフ及び相模トラフ沿いの海底基準点

日向灘から房総沖までの南海トラフ及び相模トラフ沿いの海底基準点についての動きを調べると、東北沖地震以前は、多くの海底基準点で西～北西向きの動きが見られた。この結果は、南海トラフ巨大地震震源域でのすべり欠損の蓄積過程を示している。これらの観測成果については、Yokota et al. (2016) において議論されている。

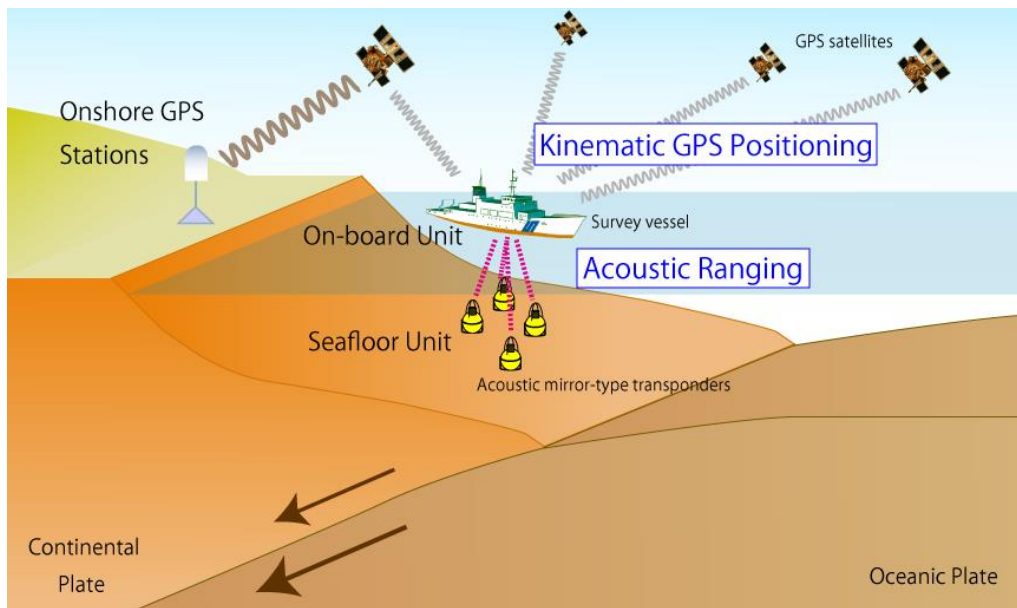
固着状態の時間変化やスロースリップに関して議論するために、今後も更なる観測データの蓄積が必要である。

謝辞

東北大学観測点での観測は、東北大学災害科学国際研究所の枠組みの下、実施している。観測の技術開発は、東京大学生産技術研究所との共同研究の枠組みの下、実施している。解析の一部には、国土地理院提供の電子基準点 1 秒データを使用している。

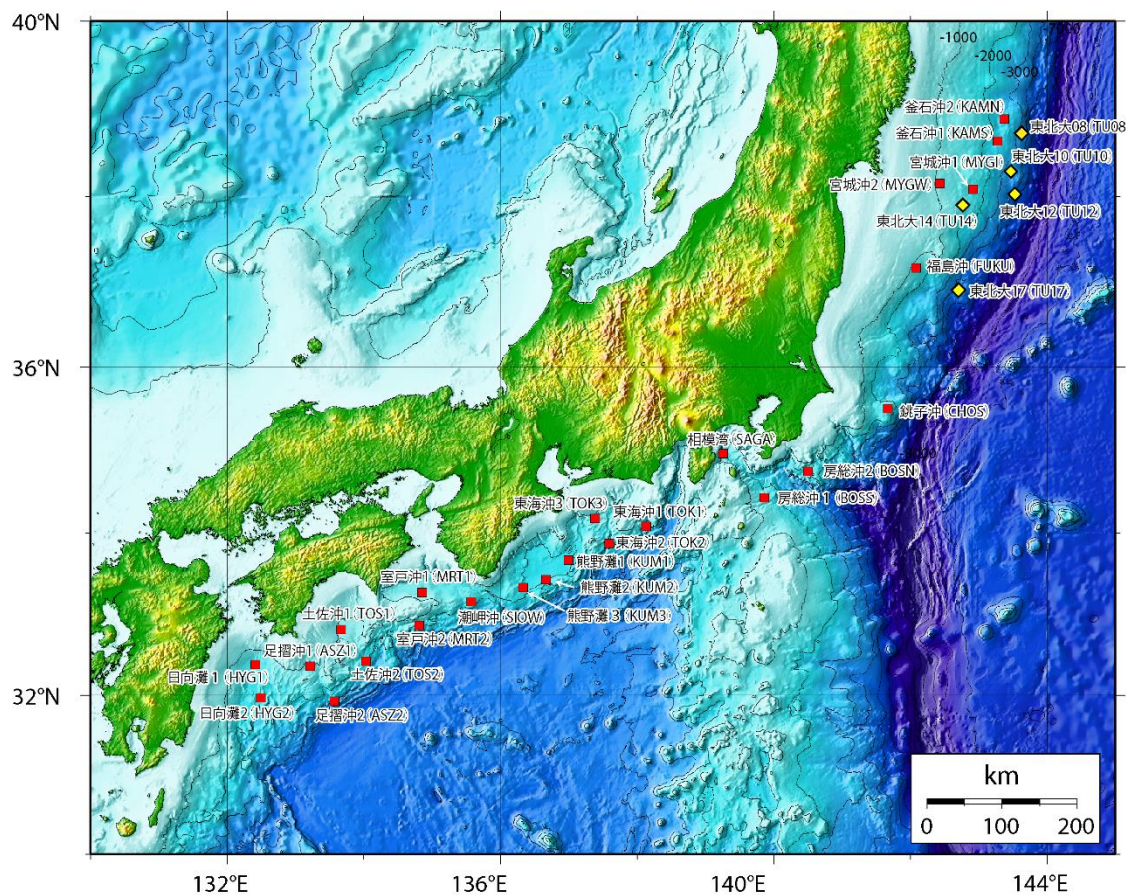
参考文献

- Colombo, O. L (1998), Long-Distance Kinematic GPS, in “GPS for Geodesy 2nd Edition” , Springer, 537-568.
- 藤田雅之, 佐藤まりこ, 矢吹哲一朗 (2004), 海底地殻変動観測における局位置解析ソフトウェアの開発, *海洋情報部技報*, 22, 42-49.
- 川井仁一, 浅倉宜矢, 松本良浩 (2009), 測量船「明洋」への海底地殻変動観測用送受波器の船底装備について, *海洋情報部技報*, 27, 50-55.
- 松本良浩, 藤田雅之, 石川直史 (2008), 海底地殻変動観測における複数エポック一括局位置解析手法の導入, *海洋情報部技報*, 26, 16-22.
- Sato, M., T. Ishikawa, N. Ujihara, S. Yoshida, M. Fujita, M. Mochizuki, A. Asada (2011), Displacement above the hypocenter of the 2011 Tohoku-oki earthquake, *Science*, 332, 1395, doi:10.1126/science.1207401.
- Sato, M., M. Fujita, Y. Matsumoto, H. Saito, T. Ishikawa and T. Asakura (2013), Improvement of GPS/acoustic seafloor positioning precision through controlling the ship's track line, *J. Geod.*, 87, 825-842, doi:10.1007/s00190-013-0649-9.
- 富山新一 (2003), 海底地殻変動観測における音響解析, *海洋情報部技報*, 21, 67-72.
- Watanabe, S., M. Sato, M. Fujita, T. Ishikawa, Y. Yokota and N. Ujihara and A. Asada (2014), Evidence of viscoelastic deformation following the 2011 Tohoku-oki earthquake revealed from seafloor geodetic observation, *Geophysical Research Letters*, 41, 5789-5796, doi:10.1002/2014GL061134.
- Yokota, Y., T. Ishikawa, S. Watanabe, T. Tashiro and A. Asada (2016), Seafloor geodetic constraints on the interplate coupling of the Nankai Trough megathrust zone, *Nature*, 534, 374-377, doi:10.1038/nature17632.



第 1 図 海底地殻変動観測の概念図

Figure 1. Schematic picture of GPS-acoustic ranging seafloor geodetic observation



第 2 図 海底基準点配置図 (2015 年 12 月時点)

Figure 2. Locations of the seafloor reference sites (Dec. 2015). The red and yellow squares indicate the sites deployed by the groups of the Japan Coast Guard and the Tohoku University, respectively.

第1表 海底基準点の位置 (2015年12月時点)

Table 1. Positions of the seafloor reference sites.

Site	Code	Latitude	Longitude	Depth [m]
釜石沖 2	KAMN	38-53.2 N	143-21.7 E	2300
釜石沖 1	KAMS	38-38.2 N	143-15.8 E	2200
宮城沖 2	MYGW	38-09.0 N	142-26.0 E	1100
宮城沖 1	MYGI	38-05.0 N	142-55.0 E	1670
福島沖	FUKU	37-10.0 N	142-05.0 E	1200
銚子沖	CHOS	35-30.2 N	141-40.2 E	1500
房総沖 2	BOSN	34-45.0 N	140-30.0 E	1900
房総沖 1	BOSS	34-25.8 N	139-51.9 E	1450
相模湾	SAGA	34-57.6 N	139-15.8 E	1340
東海沖 1	TOK1	34-05.1 N	143-08.0 E	2400
東海沖 2	TOK2	33-52.6 N	137-35.7 E	1600
東海沖 3	TOK3	34-10.8 N	137-23.2 E	1200
熊野灘 1	KUM1	33-40.2 N	136-59.8 E	2000
熊野灘 2	KUM2	33-26.0 N	136-40.0 E	2000
熊野灘 3	KUM3	33-20.0 N	136-20.0 E	2000
潮岬沖	SIOW	33-09.6 N	135-34.3 E	1550
室戸沖 1	MRT1	33-21.0 N	134-56.7 E	1350
室戸沖 2	MRT2	32-52.3 N	143-48.8 E	1400
土佐沖 1	TOS1	32- 49.0 N	133-40.0 E	1050
土佐沖 2	TOS2	32- 25.7 N	134-01.9 E	1770
足摺沖 1	ASZ1	32-22.1 N	133-13.2 E	1100
足摺沖 2	ASZ2	31-55.9 N	133-34.6 E	2940
日向灘 1	HYG1	32-23.0 N	132-25.0 E	1640
日向灘 2	HYG2	31-58.4 N	132-29.7 E	1960
東北大 08	TU08	38-43.2N	143-38.6E	3479
東北大 10	TU10	38-18.0N	143-29.0E	3271
東北大 12	TU12	38-01.2 N	143-32.0 E	4370
東北大 14	TU14	37-53.5 N	142-46.5 E	1310
東北大 17	TU17	36-54.0N	142-43.0E	4223

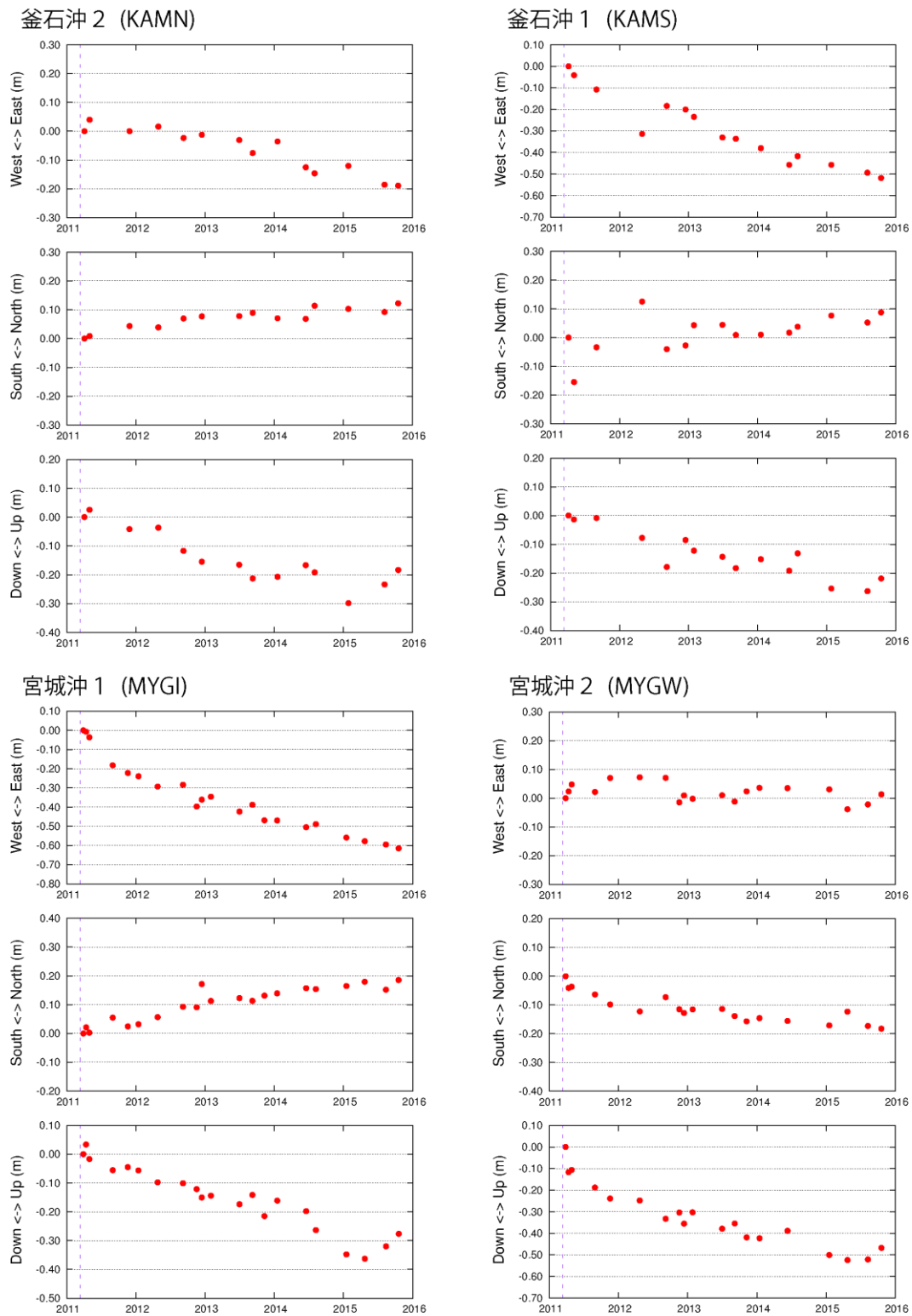
第2表 各海底基準点における2015年の観測実績（数字は取得した音響測距データ数）

Table 2. Number of ranging data obtained in each observation

Site	Code	2015								
		1/12~ 1/29	3/2~ 3/19	4/17~ 5/1	5/25~ 6/8	8/2~ 8/18	8/21~ 9/6	9/8~ 9/25	10/13~ 10/29	12/2~ 12/15
釜石沖2	KAMN	5395				4295			4133	
釜石沖1	KAMS	5204				4279			3965	
宮城沖2	MYGW	4764		3056		3510			3625	
宮城沖1	MYGI	5412		4043		4204			4086	
福島沖	FUKU	5149		3956		3709			3980	
銚子沖	CHOS			4058		4444			4280	
房総沖2	BOSN			4216		4193			4380	
房総沖1	BOSS					4840				
相模湾	SAGA		3844			4000	2708	3895	1313	2863
東海沖1	TOK1		6260*				3686	3841		2580
東海沖2	TOK2		5122				4419	4464		3704
東海沖3	TOK3		4021				4077		4004	
熊野灘1	KUM1		5569				4525			
熊野灘2	KUM2						4701	4736		
熊野灘3	KUM3		3345*				5572*			
潮岬沖	SIOW						4360			
室戸沖1	MRT1						4388			
室戸沖2	MRT2		4643*		6911*		6973*	5435		
土佐沖1	TOS1				4255			4066		3803
土佐沖2	TOS2				3925		3916	4059		
足摺沖1	ASZ1		1380		3695		3747	3849		
足摺沖2	ASZ2		3816		3850*		3816	3829		2883
日向灘1	HYG1				3594			3781		3273
日向灘2	HYG2				4257			4621		3684
東北大08	TU08			4068		3976			3976	
東北大10	TU10			3648		3748			3631	
東北大12	TU12			3758		3159			3000	
東北大14	TU14	3672				3812			3748	
東北大17	TU17			4109		3536			4037	

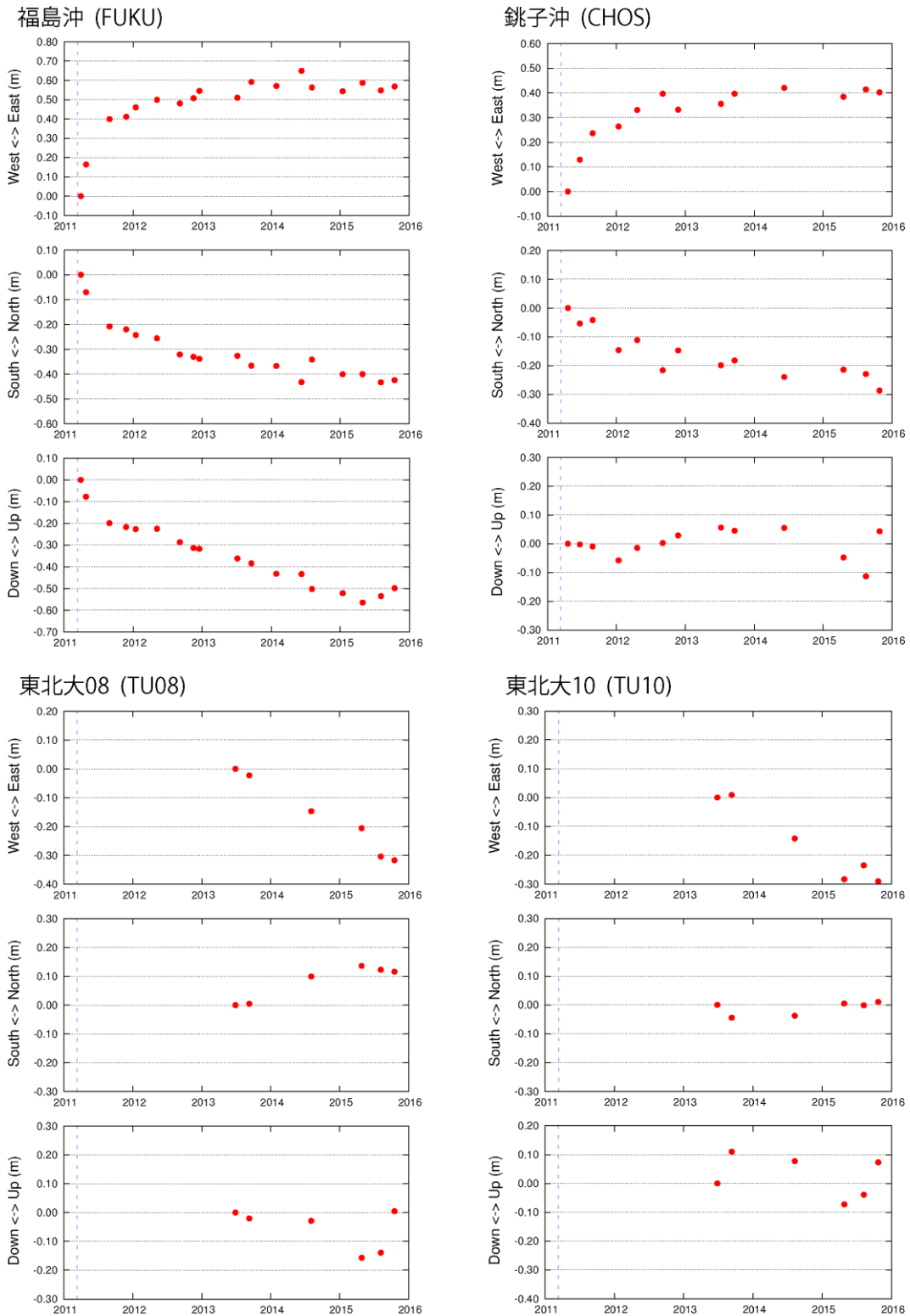
*新旧海底局同時観測

*Observation for the replacement of transponders



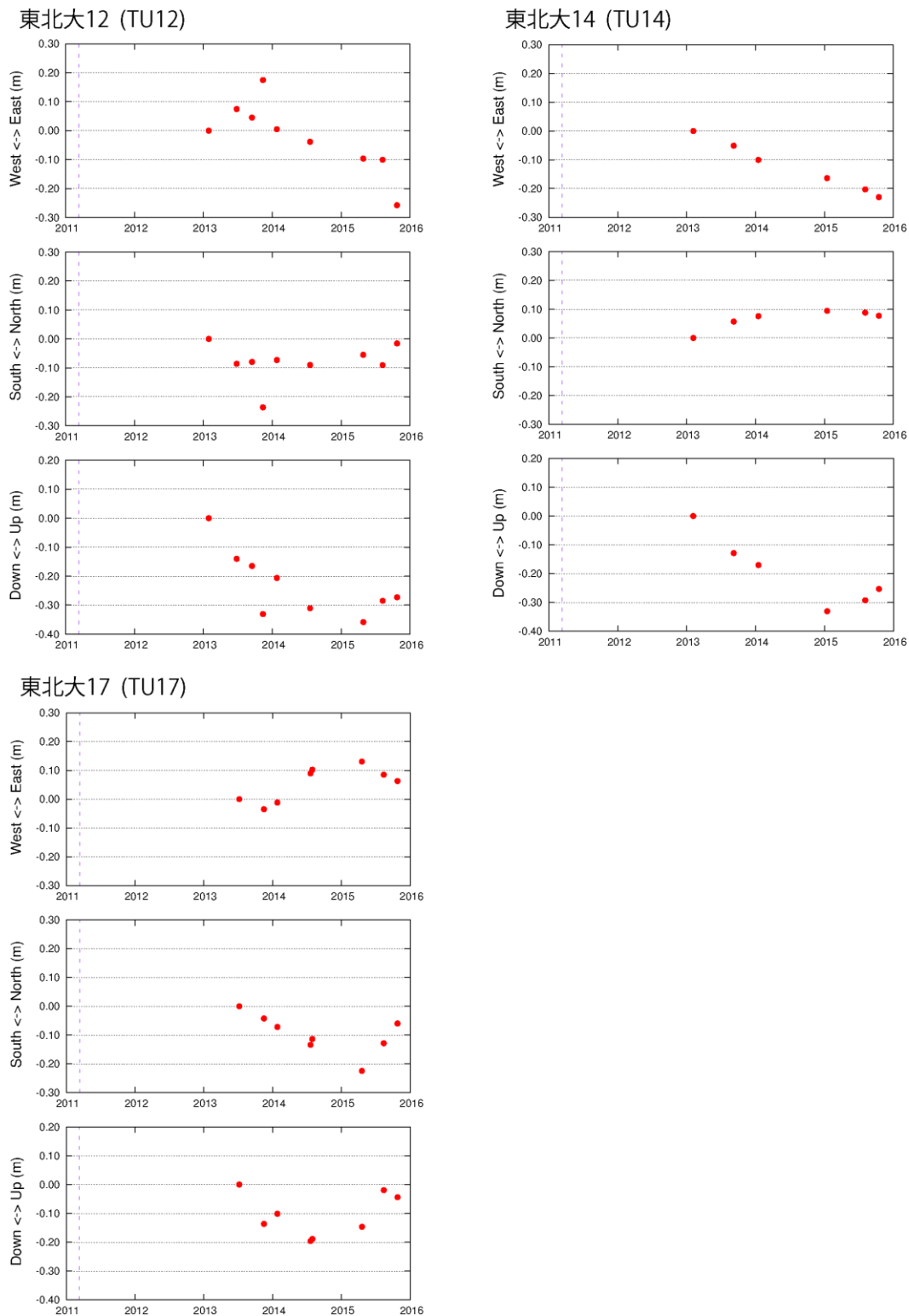
第3図 日本海溝沿いの海底基準点における変位時系列（電子基準点「福江」固定）。グラフ中の紫線は東北地方太平洋沖地震を示す。

Figure 3. Time series of the estimated positions of array centroid at the seafloor sites along the Japan Trench after the 2011 Tohoku-oki earthquake relative to the Fukue station (GEONET). The purple dashed lines indicate the occurrence time of the Tohoku-Oki earthquake (M9.0).



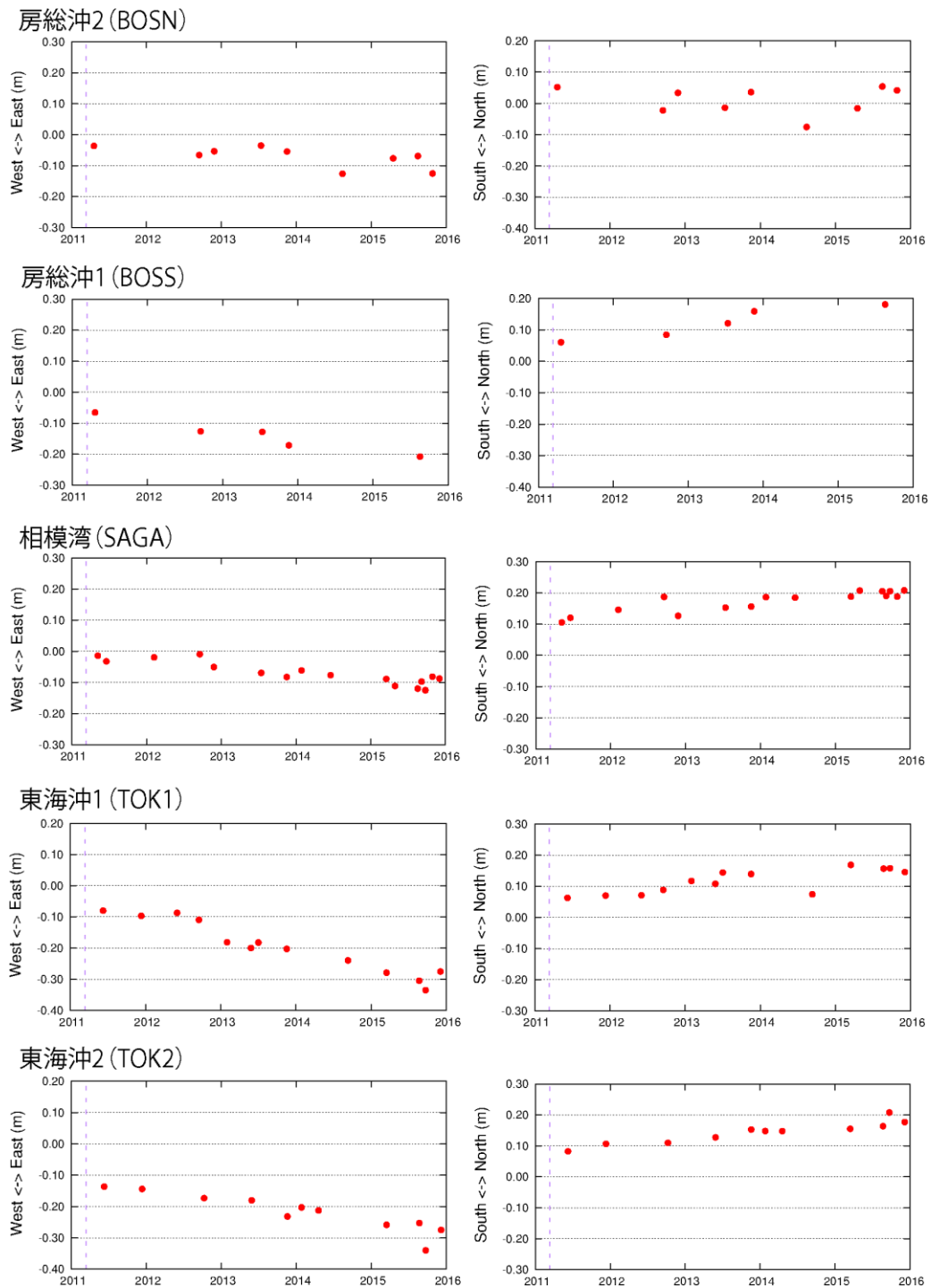
第3図 日本海溝沿いの海底基準点における変位時系列 (電子基準点「福江」固定). グラフ中の紫線は東北地方太平洋沖地震を示す.

Figure 3. Time series of the estimated positions of array centroid at the seafloor sites along the Japan Trench after the 2011 Tohoku-oki earthquake relative to the Fukue station (GEONET) (continued)



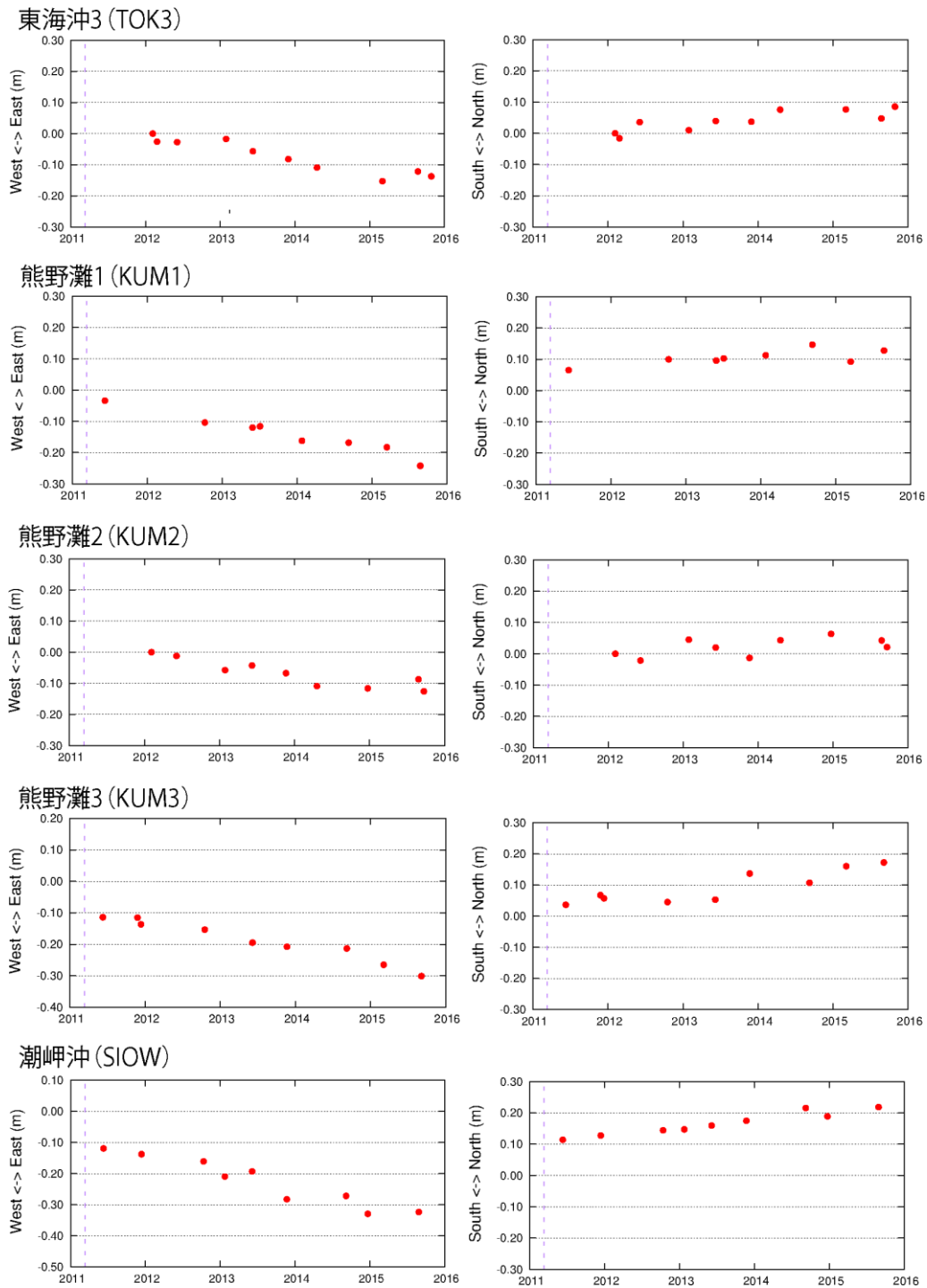
第3図 日本海溝沿いの海底基準点における変位時系列（電子基準点「福江」固定）. グラフ中の紫線は東北地方太平洋沖地震を示す.

Figure 3. Time series of the estimated positions of array centroid at the seafloor sites along the Japan Trench after the 2011 Tohoku-oki earthquake relative to the Fukue station (GEONET) (continued)



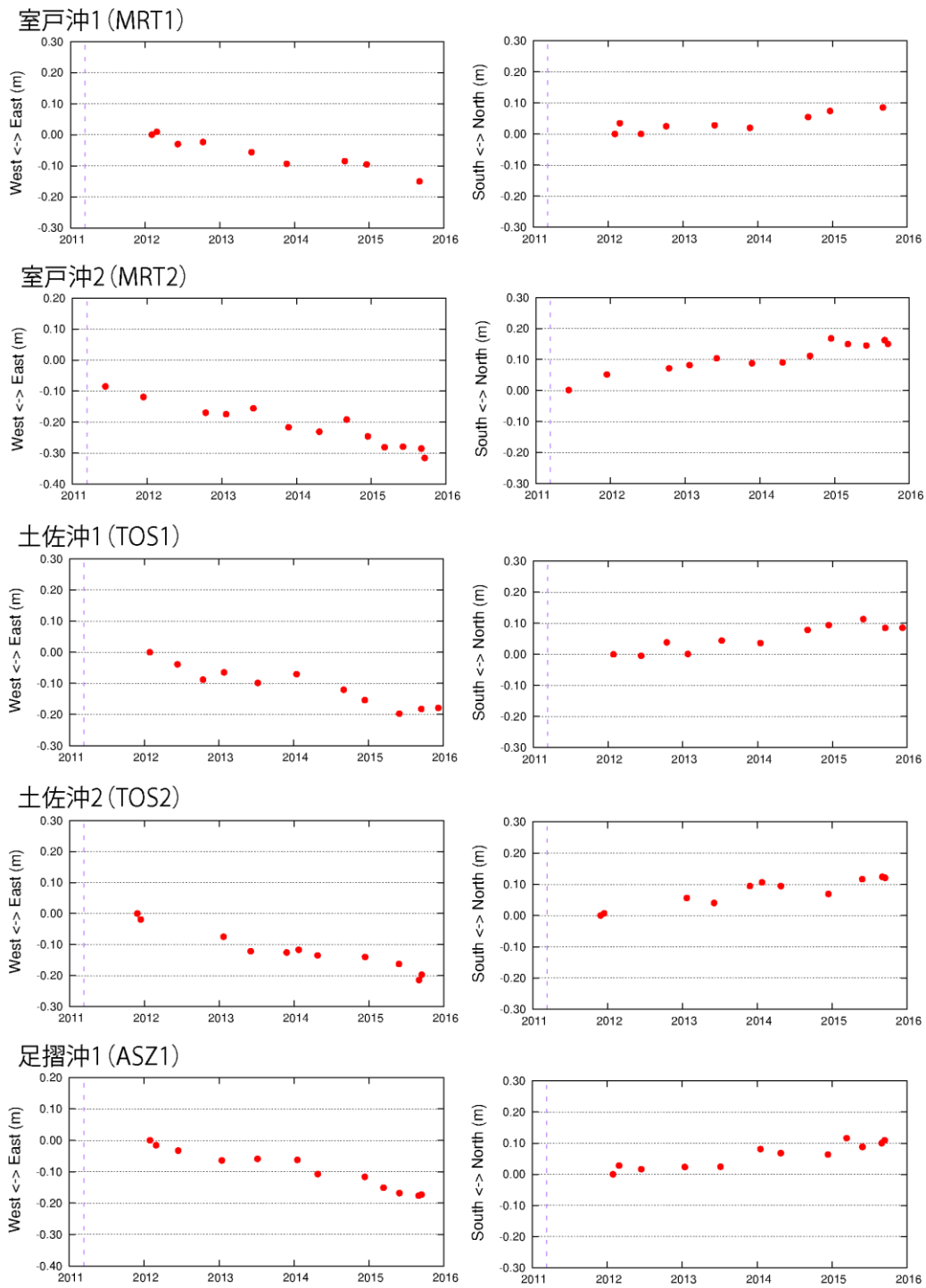
第4図 相模トラフ・南海トラフ沿いの海底基準点における変位時系列(電子基準点「福江」固定). グラフ中の紫線は東北地方太平洋沖地震を示す.

Figure 4. Time series of the estimated positions of array centroid at the seafloor sites along the Sagami Trench and the Nankai Trench relative to the Fukue station (GEONET). The purple dashed lines indicate the occurrence time of the Tohoku-Oki earthquake (M9.0).



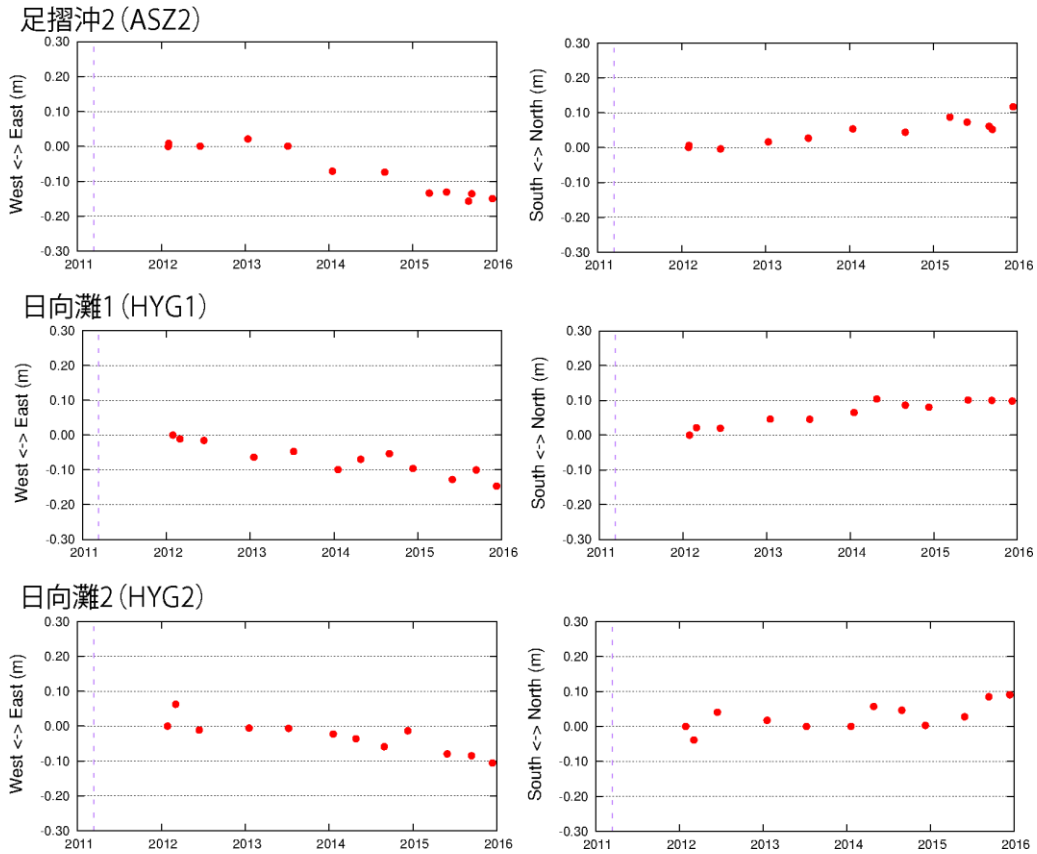
第4図 相模トラフ・南海トラフ沿いの海底基準点における変位時系列(電子基準点「福江」固定)。グラフ中の紫線は東北地方太平洋沖地震を示す。

Figure 4. Time series of the estimated positions of array centroid at the seafloor sites along the Sagami Trench and the Nankai Trench relative to the Fukue station (GEONET) (continued).



第4図 相模トラフ・南海トラフ沿いの海底基準点における変位時系列(電子基準点「福江」固定)。グラフ中の紫線は東北地方太平洋沖地震を示す。

Figure 4. Time series of the estimated positions of array centroid at the seafloor sites along the Sagami Trench and the Nankai Trench relative to the Fukue station (GEONET) (continued).



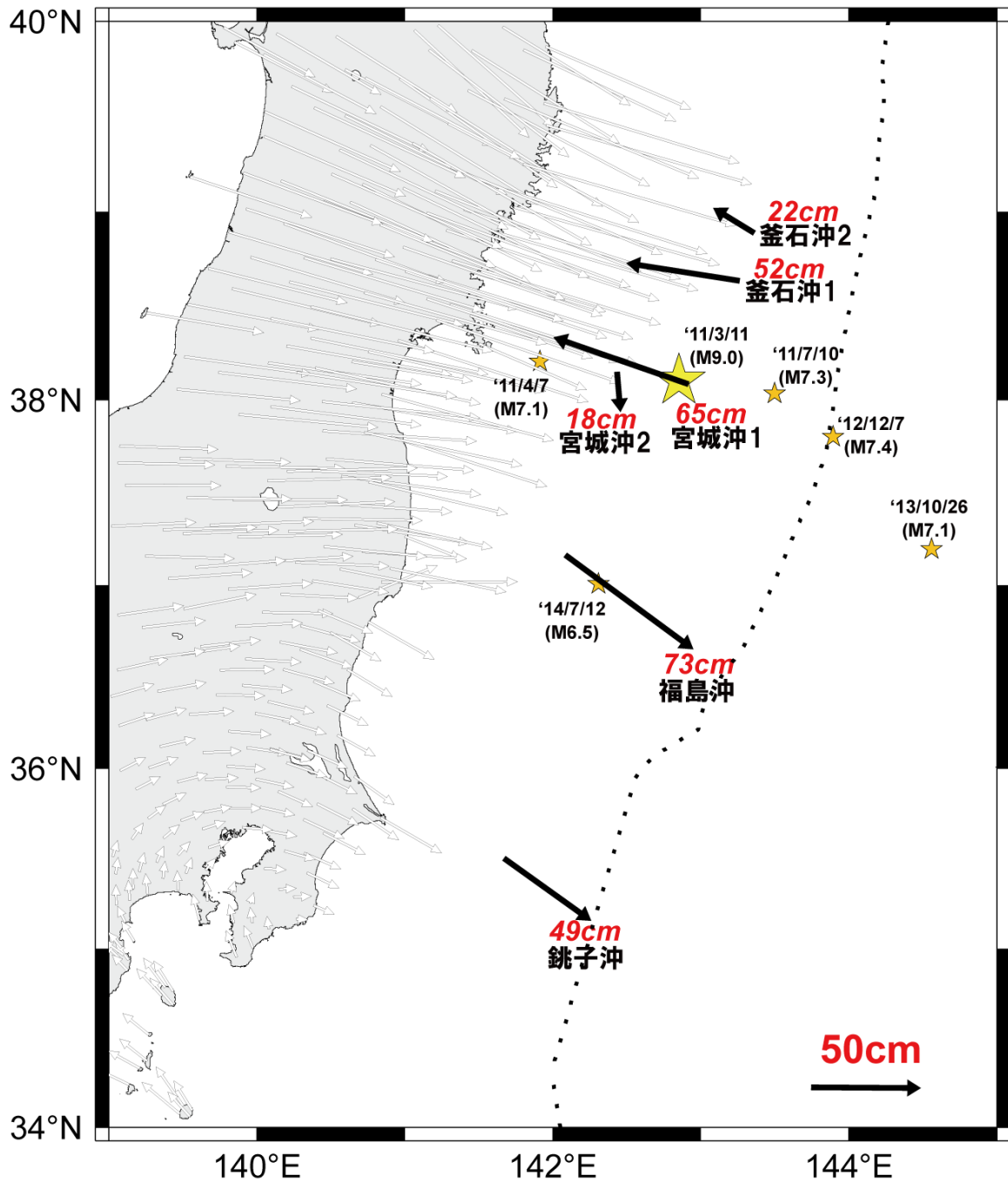
第4図 相模トラフ・南海トラフ沿いの海底基準点における変位時系列(電子基準点「福江」固定).
 グラフ中の紫線は東北地方太平洋沖地震を示す.

Figure 4. Time series of the estimated positions of array centroid at the seafloor sites along the Sagami Trench and the Nankai Trench relative to the Fukue station (GEONET) (continued).

第3表 東北地方太平洋沖地震後の水平変位(電子基準点「福江」固定)

Table 3. Displacements at the seafloor sites along the Japan Trench relative to the Fukue station (GEONET)

観測点	KAMN	KAMS	MYGI	MYGW	FUKU	CHOS	電子基準点
基準エポック	2011/4/3	2011/4/5	2011/3/28	2011/3/27	2011/3/29	2011/4/18	2011/3/29-4/4
比較エポック	2015/10/16	2015/10/15	2015/10/18	2015/10/19	2015/10/14	2015/10/26	2015/10/8-10/14
水平変位量	22cm	52cm	65cm	18cm	73cm	49cm	



第5図 東北地方太平洋沖地震後の変位（電子基準点「福江」固定）。赤の矢印は、海上保安庁の海底基準点における地震後の変位（期間は第3表参照）、黄の星印は東北沖地震の震央位置を示す。図中の変位には、余震による地殻変動が含まれている。

Figure 5. Cumulative displacements in horizontal components after the 2011 Tohoku-oki earthquake at the seafloor sites along the Japan Trench relative to the Fukue station (GEONET). The observation periods are indicated in Table 3. The red and black arrows indicate the displacements at the seafloor sites and the terrestrial sites deployed by Geospatial Information Authority of Japan, respectively.